

การออกแบบตัวควบคุมป้อนกลับสถานะที่ขอสำหรับคานตีโมเซนโค

นายธีรเดช พิณพงษ์

วิทยานิพนธ์นี้เป็นส่วนหนึ่งของการศึกษาตามหลักสูตรปริญญาวิศวกรรมศาสตรมหาบัณฑิต
สาขาวิชาวิศวกรรมไฟฟ้า ภาควิชาวิศวกรรมไฟฟ้า
คณะวิศวกรรมศาสตร์ จุฬาลงกรณ์มหาวิทยาลัย
ปีการศึกษา 2549
ลิขสิทธิ์ของจุฬาลงกรณ์มหาวิทยาลัย

BOUNDARY STATE FEEDBACK CONTROLLER DESIGN FOR TIMOSHENKO BEAMS


Mr. Teradach Pinyapong

**A Thesis Submitted in Partial Fulfillment of the Requirements
for the Degree of Master of Engineering Program in Electrical Engineering
Department of Electrical Engineering
Faculty of Engineering
Chulalongkorn University
Academic Year 2006
Copyright of Chulalongkorn University**


491804

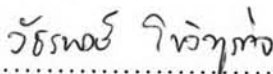
หัวข้อวิทยานิพนธ์ การออกแบบตัวควบคุมป้อนกลับสถานะที่ขอบสำหรับคานตีโมเซนโค
โดย นายธีรเดช พิญญพงษ์
สาขาวิชา วิศวกรรมไฟฟ้า
อาจารย์ที่ปรึกษา รองศาสตราจารย์ ดร.วัชรพงษ์ ไชวิฑูรกิจ


คณะวิศวกรรมศาสตร์ จุฬาลงกรณ์มหาวิทยาลัยอนุมัติให้หัวข้อวิทยานิพนธ์ฉบับนี้เป็นส่วนหนึ่ง
ของการศึกษาตามหลักสูตรปริญญาโท


.....
(ศาสตราจารย์ ดร.ติเรก ลาวัณย์ศิริ) คณบดีคณะวิศวกรรมศาสตร์

คณะกรรมการสอบวิทยานิพนธ์


.....
(ผู้ช่วยศาสตราจารย์ ดร.สุชิน อรุณสวัสดิ์วงศ์) ประธานกรรมการ


.....
(รองศาสตราจารย์ ดร.วัชรพงษ์ ไชวิฑูรกิจ) อาจารย์ที่ปรึกษา


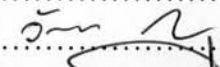


.....
(ดร.สุธี ผู้เจริญชนะชัย) อาจารย์ที่ปรึกษาร่วม


.....
(ผู้ช่วยศาสตราจารย์ ดร.อนุสรณ์ ชนวีระยุทธ) กรรมการ

ธีรเดช พิณณพงษ์: การออกแบบตัวควบคุมป้อนกลับสถานะที่ขอบสำหรับคานตีโมเชนโค (BOUNDARY STATE FEEDBACK CONTROLLER DESIGN FOR TIMOSHENKO BEAMS),
 อาจารย์ที่ปรึกษา: รองศาสตราจารย์ ดร. วัชรพงษ์ โชวิฑูรกิจ, อาจารย์ที่ปรึกษาร่วม: ดร.
 สุธี ผู้เจริญชนะชัย, 57 หน้า.

ในวิทยานิพนธ์นี้เสนอการออกแบบตัวควบคุมที่ขอบเพื่อทำให้มีเสถียรภาพสำหรับคานตีโมเชนโคที่มีการหน่วงเคลวิน-พอจ์ทในปริมาณน้อยภายใต้สมมติฐานว่าเป็นคานแบบเรียวยาว เราใช้ทฤษฎีการรบกวนเอกฐานเพื่อลดรูปแบบจำลองและทำให้เป็นระบบป้อนกลับโดยแก้ด้วยการควบคุมมุมหมุนหรือโมเมนต์ที่ปลายคาน ด้วยเหตุนี้เราสามารถประยุกต์ใช้เทคนิคก้าวดอยหลังในการออกแบบตัวควบคุมโดยใช้การขั้วเร้าที่ฐานของคานเท่านั้น ส่วนอีกด้านหนึ่งติดตั้งแบบยึดหรือหมุด ตัวควบคุมต้องการเพียงผลเฉลยของสมการเคอร์เนลที่เป็นสมการเชิงอนุพันธ์ย่อยไฮเพอร์โบลิกเชิงเส้นบนโดเมนสามเหลี่ยมด้วยการใช้วิธีการประมาณสี่บเนื่องหรือวิธีเชิงตัวเลข จากการป้อนกลับที่ขอบแบบก้าวดอยหลังนี้ เราจะได้ระบบวงวนปิดที่มีเสถียรภาพแบบเลขชี้กำลัง สุดท้ายเราจะใช้วิธีการเวียนเกิด I_{MN} ของซาเกียนในการจำลองพลวัตของคาน พลวัตของคานลดรูป และผลตอบสนองของระบบวงวนปิด ซึ่งแสดงให้เห็นถึงการลู่เข้าสู่สภาวะอยู่ตัวได้อย่างรวดเร็ว

ภาควิชา วิศวกรรมไฟฟ้า
 สาขาวิชา วิศวกรรมไฟฟ้า
 ปีการศึกษา 2549

ลายมือชื่อนิสิต 
 ลายมือชื่ออาจารย์ที่ปรึกษา 
 ลายมือชื่ออาจารย์ที่ปรึกษาร่วม 

##4870328221: MAJOR ELECTRICAL ENGINEERING

KEY WORD : BOUNDARY CONTROL, TIMOSHENKO BEAM, BACKSTEPPING CONTROL,
ZAKIAN I_{MN} RECURSION

TERADACH PINYAPONG: BOUNDARY STATE FEEDBACK CONTROLLER DESIGN FOR
TIMOSHENKO BEAMS THESIS ADVISOR: WATCHARAPONG KHOVIDHUNGIJ, Ph.D.,
THESIS CO-ADVISOR: SUTHEE PHOOJARUENCHANACHAI, Ph.D., 57 pp.

In this thesis, we present boundary controller design to stabilize Timoshenko beams. The assumption is that the beam is slender and must have a small amount of Kelvin-Voigt damping (KVd). The singular perturbation theory is used for model reduction and the strict-feedback system is achieved by controlling rotational angle or moment at the end. Consequently, we can apply backstepping technique to design a controller using actuation only at the beam base and the opposite end is fixed or pinned. The controller requires the solution of a linear hyperbolic PDE on a triangular domain, which is obtained by applying successive approximation or numerical method. The closed-loop system with our backstepping boundary feedback is exponentially stable. Finally, we use the Zakian I_{MN} recursion to simulate the beam dynamics, the reduced beam dynamics and the closed-loop systems, which exhibit rapid convergence to the steady state.

Department .. Electrical Engineering
Field of study .. Electrical Engineering
Academic year 2006

Student's signature *Teradach*
Advisor's signature *Watchara*
Co-advisor's signature *P. Suth*

กิตติกรรมประกาศ

วิทยานิพนธ์ฉบับนี้สำเร็จลุล่วงไปได้ ด้วยความช่วยเหลือของรองศาสตราจารย์ ดร. วัชรพงษ์ ไชวิฑูรกิจ อาจารย์ที่ปรึกษาวิทยานิพนธ์ ผู้ให้โอกาสผู้วิจัยเข้ามาเป็นนิสิตในที่ปรึกษา ให้ความรู้ในเรื่อง การควบคุมระบบมิตอนันต์ ให้คำแนะนำในการทำงานและการเรียนด้วยเจตนาดีเสมอมา และดร. สุธี ผู้เจริญชนะชัย อาจารย์ที่ปรึกษาร่วม ที่ให้ความเอาใจใส่ กำลังใจ และคำแนะนำอันเป็นประโยชน์ตลอด เวลาตั้งแต่ผู้วิจัยศึกษาในระดับปริญญาตรีจึงใคร่ขอขอบพระคุณไว้ ณ ที่นี้

ขอขอบพระคุณผู้ช่วยศาสตราจารย์ ดร.สุชิน อรุณสวัสดิ์วงศ์ ประธานกรรมการสอบวิทยานิพนธ์ ที่ได้ให้ความรู้และคำปรึกษาทางด้าน การคำนวณเชิงตัวเลข ที่ใช้ในการทำวิทยานิพนธ์นี้

ขอขอบพระคุณผู้ช่วยศาสตราจารย์ ดร.อนุสรณ์ ชนวีระยุทธ กรรมการสอบวิทยานิพนธ์ ที่ให้ความรู้ พื้นฐานทางด้านสมการเชิงอนุพันธ์ย่อย และสละเวลาตรวจสอบและให้คำแนะนำเพื่อให้อวิทยานิพนธ์ฉบับนี้ สมบูรณ์ยิ่งขึ้น

และขอขอบพระคุณคณาจารย์ทุกท่านในสาขาระบบควบคุม ภาควิชาวิศวกรรมไฟฟ้า

ขอกราบขอบพระคุณบิดา มารดา สำหรับความรัก ความห่วงใย กำลังใจ และการดูแลเอาใจใส่ที่ดี เสมอมา ขอขอบคุณความช่วยเหลือและมิตรภาพจากเพื่อนพี่น้องพี่ในห้องปฏิบัติการวิจัยระบบควบคุมทุกคน

วิทยานิพนธ์นี้คงสำเร็จลงไม่ได้ถ้าขาดทุนการศึกษาและเงินอุดหนุนงานวิจัย จากโครงการทุนสถาบัน บัณฑิตวิทยาศาสตร์และเทคโนโลยีไทย (Thailand Graduate Institute of Science and Technology, TGIST) และพี่ๆ ผู้ดำเนินงาน TGIST ทุกท่าน จึงขอขอบพระคุณไว้ ณ ที่นี้

สุดท้ายนี้ ขอขอบคุณห้องปฏิบัติการวิจัยระบบควบคุม ภาควิชาวิศวกรรมไฟฟ้าคณะวิศวกรรม- ศาสตร์ จุฬาลงกรณ์มหาวิทยาลัย สำหรับทรัพยากรต่างๆ ในการศึกษา ค้นคว้าและวิจัย

สารบัญ

	หน้า
บทคัดย่อภาษาไทย	ง
บทคัดย่อภาษาอังกฤษ	จ
กิตติกรรมประกาศ	ฉ
สารบัญ	ช
สารบัญตาราง	ฅ
สารบัญภาพ	ฉ
คำอธิบายสัญลักษณ์	ณ
1 บทนำ	1
1.1 ความเป็นมา	1
1.1.1 คานตีโมเซนโค	1
1.1.2 การประยุกต์ใช้งานสำหรับคานตีโมเซนโค	3
1.2 งานวิจัยที่ผ่านมา	4
1.2.1 การควบคุมเพื่อให้เสถียร	4
1.2.2 การออกแบบด้วยเทคนิคการแปลงก้ำวถอยหลัง	4
1.3 วัตถุประสงค์	5
1.4 ขอบเขตของวิทยานิพนธ์	5
1.5 ขั้นตอนในการดำเนินงาน	5
1.6 ประโยชน์ที่คาดว่าจะได้รับ	6
1.7 โครงสร้างของวิทยานิพนธ์	6
2 แบบจำลองลดรูปของคานตีโมเซนโค	7
2.1 การวิเคราะห์ด้วยเทคนิคการรบกวนเอกฐาน	7
2.1.1 กรณีคานปลายอิสระ	8
2.1.2 กรณีคานปลายยึด	9
2.1.3 กรณีคานปลายหมุด	11
2.2 สรุป	12

บทที่	หน้า
3 การออกแบบตัวควบคุม.....	13
3.1 สมการเคอร์เนล	13
3.1.1 กรณีคานปลายอิสระ	14
3.1.2 กรณีคานปลายยึดหรือปลายหมุน	15
3.2 ผลเฉลยของสมการเคอร์เนล	16
3.2.1 การประมาณสี่บหนึ่ง	16
3.2.2 การคำนวณเชิงตัวเลข	19
3.3 สรุป	22
4 การจำลองแบบด้วยวิธีเชิงตัวเลข.....	23
4.1 ทฤษฎีการคำนวณเชิงตัวเลข	23
4.1.1 สมการไฮเพอร์โบลิก	23
4.1.2 การเวียนเกิด I_{MN} ของซาเกียน	24
4.2 การจำลองแบบคานตีโมเซนโค	25
4.3 การจำลองแบบคานตีโมเซนโคลดรูป	28
4.4 การจำลองแบบระบบวงวนปิด	30
4.5 สรุป	34
5 บทสรุปและข้อเสนอแนะ	39
5.1 บทสรุป	39
5.2 ข้อเสนอแนะ	39
รายการอ้างอิง	40
ภาคผนวก	43
ภาคผนวก ก ชุดคำสั่งในการคำนวณ	44
ก.1 การหาผลเฉลยของสมการเคอร์เนลด้วยวิธีการประมาณสี่บหนึ่ง	44
ก.2 การหาผลเฉลยของสมการเคอร์เนลด้วยวิธีเชิงตัวเลข	45
ก.3 การจำลองแบบพลวัตของคานตีโมเซนโคปลายยึดทั้งสองข้าง	46
ก.4 การจำลองแบบพลวัตของคานตีโมเซนโคลดรูป	48
ก.5 การจำลองแบบผลตอบสนองของระบบวงวนปิด	49
ประวัติผู้เขียนวิทยานิพนธ์.....	50

สารบัญตาราง

ตาราง	หน้า
4.1 ค่า $\max u(1, t) $, $\max \ u(\cdot, t)\ _2$ และ t_s สำหรับ $d = 0.01$	33
4.2 ค่า $\max u(1, t) $, $\max \ u(\cdot, t)\ _2$ และ t_s สำหรับ $d = 0.1$	33

สารบัญญภาพ

ภาพประกอบ	หน้า
1.1 คานตีโมเซนโค	2
3.1 ค่าลักษณะเฉพาะของสมการคลื่นที่มีเสถียรภาพเมื่อ $\epsilon = 1, a = 1, d = 0.1$ และ $c = 0$	14
3.2 เปรียบเทียบการประมาณเคอร์เนลตั้งแต่ผลรวมของพจน์ที่ 0 ถึง 4 ที่ปลาย $x = 1$	19
3.3 พจน์ที่ใช้ในการคำนวณแต่ละครั้งและลำดับการคำนวณ	20
3.4 ผลเฉลย $k(x, y)$ ของสมการเคอร์เนล (3.39)-(3.41) และค่าที่ปลาย $x = 1$	21
3.5 ผลเฉลย $k(x, y)$ ของสมการเคอร์เนล (3.39)-(3.41) ที่ปลาย $x = 1$ ที่ค่า c ต่าง ๆ กัน	21
3.6 เปรียบเทียบการประมาณค่าผลเฉลยของสมการเคอร์เนลและค่าผลต่างของทั้งสองวิธี	22
4.1 การกระจัดตามขวางสำหรับค่า d เท่ากับ 0, 0.01, 0.1 และ 1 ตามลำดับ	27
4.2 มุมหมุนสำหรับค่า d เท่ากับ 0, 0.01, 0.1 และ 1 ตามลำดับ	35
4.3 สัญญาณควบคุมมุมหมุนหรือโมเมนต์เมื่อ d เท่ากับ 0.01 0.1 และ 1	35
4.4 การกระจัดตามขวางของคานลรูปสำหรับค่า d เท่ากับ 0, 0.01, 0.1 และ 1 ตามลำดับ	36
4.5 เปรียบเทียบนอร์มสองของการกระจัดตามขวางของคานสำหรับค่า d เท่ากับ 0, 0.01, 0.1 และ 1 ตามลำดับ	36
4.6 สัญญาณควบคุมมุมหมุนหรือโมเมนต์เมื่อ d เท่ากับ 0.01 และ 0.1	37
4.7 สัญญาณควบคุมการกระจัดที่ขอบ เมื่อ $d = 0.01$ (ซ้าย) $d = 0.1$ (ขวา)	37
4.8 การกระจัดตามขวางสำหรับ $c = 10$ เมื่อ $d = 0.01$ (ซ้าย) $d = 0.1$ (ขวา)	37
4.9 สัญญาณควบคุมที่ขอบและนอร์มสองของการกระจัดตามขวาง สำหรับค่า $d = 0.01$ (ซ้าย) และ $d = 0.1$ (ขวา)	38

คำอธิบายสัญลักษณ์

$u(x, t)$	การกระจัดตามขวางที่ตำแหน่ง x และเวลา t
$\varphi(x, t)$	มุมหมุนที่ตำแหน่ง x และเวลา t
$u_x(x, t)$	อนุพันธ์ของการกระจัดตามขวางที่ตำแหน่ง x และเวลา t เทียบกับตำแหน่ง x
∂_t	ตัวดำเนินการอนุพันธ์ย่อยเทียบกับเวลา t
$\mathcal{L}\{\cdot\}$	ผลการแปลงลาปลาซ
$\text{Re}\{z\}$	ส่วนจริงของจำนวนเชิงซ้อน z
$\text{Im}\{z\}$	ส่วนจินตภาพของจำนวนเชิงซ้อน z
$k_n(x, y)$	พจน์ที่ n ของอนุกรมจากการประมาณสี่เหลี่ยมของสมการเคอร์เนล
$k^{i,j}$	$k((i-1)h, (j-1)h)$
u^i	$u(ih, t)$
\mathbf{R}	เซตของจำนวนจริง
\mathbf{R}^m	เซตของเวกเตอร์ค่าจริงขนาด m
$\mathbf{R}^{m \times n}$	เซตของเมทริกซ์ค่าจริงขนาด $m \times n$
I_m	เมทริกซ์เอกลักษณ์ขนาด $m \times m$
X^T	เมทริกซ์สลับเปลี่ยนของเมทริกซ์ X
X^{-1}	เมทริกซ์ผกผันของเมทริกซ์ X
$\text{tridiag}(x_1, x_2, x_3)_m$	เมทริกซ์สามแนวเฉียงขนาด $m \times m$ นั่นคือ

$$\begin{bmatrix} x_2 & x_3 & 0 & 0 \\ x_1 & \ddots & \ddots & 0 \\ 0 & \ddots & \ddots & x_3 \\ 0 & 0 & x_1 & x_2 \end{bmatrix}$$

 $\|u(\cdot, t)\|_2$ นอร์มสองของการกระจัดตามขวาง เมื่อคิดเทียบกับตัวแปร x